

Die metrische Theorie der linearen Komplexbündel vom Typ 1 des einfach isotropen Raumes $J_3^{(1)}$

Von

Hans Sachs, Leoben

(Eingegangen am 6. März 1985; in modifizierter Fassung am 5. August 1985)

Herrn em. o. Prof. Dr. W. Wunderlich zum 75. Geburtstag gewidmet

Abstract. The Metric Theory of the Bundles of Linear Line Complexes of Type 1 of the Simply Isotropic Space $J_3^{(1)}$. According to K. STRUBECKER ([18]–[21]) a three dimensional real affine space with the metric $ds^2 = dx^2 + dy^2$ is called a simply isotropic space $J_3^{(1)}$. In $J_3^{(1)}$ exist 41 types of bundles of linear line complexes. In this paper we study the metric theory of a bundle of type 1. Especially we investigate the congruence of axis, we give some isotropic and affine results and we study the complementary bundle.

Wie in [15] gezeigt, stellt unter den 41 Typen linearer Komplexbündel des einfach isotropen Raumes $J_3^{(1)}$ der Typus 1 den allgemeinen Typ dar. Hierbei liegt genau dann der Typ 1 vor, wenn die Fernkurve c des Gebüschachsenregulus Φ_0 eine *D-Ellipse* ist, d. h. ein Kegelschnitt ist, der zu einer Ellipse metrisch-dual ist, wenn man beachtet, daß in der Fernebene ω des $J_3^{(1)}$ eine dual-euklidische Metrik herrscht. Ein Bündel dieses Typs wird nach ([15], S. 188) durch drei *Fundamentalinvarianten* k_A, k_B, k_C beschrieben¹. Gemäß der hervorragenden Bedeutung der Theorie der linearen Komplexmannigfaltigkeiten in der *Kinematik* und *Statik* (vgl. [2], [22] und [23]) und der zunehmenden Tendenz, Begriffe dieser Art auch in *nichteuklidischen Räumen* zu untersuchen (vgl. [1], S. 433f., [3], [10]–[16]), soll in dieser Note die metrische Theorie der Komplexbündel vom Typ 1 im einfach isotropen Raum systematisch dargestellt werden.

¹ Im folgenden beziehen wir uns stets auf die Bezeichnungen und Resultate aus [15].

1. Die Achsenkongruenz des Komplexbündels

Die Menge der Achsen der Gewinde eines linearen Komplexbündels vom Typ 1 ist eine zweiparametrische Mannigfaltigkeit, die als *Achsenkongruenz* \mathcal{K} bezeichnet werden möge. Für viele Fragen der Praxis ist gerade die Verteilung der Gewindeachsen, die im folgenden untersucht werden soll, von großer Bedeutung (vgl. [23], 303f.). Um \mathcal{K} zu beschreiben, beachten wir, daß aus der *natürlichen Darstellung* (1.14) des Bündels in [15], S. 188, zunächst folgt

$$\bar{g}_6 - k_C \bar{g}_3 = 0, \quad (1.1)$$

d. h. die Achsen liegen in dem vollisotropen Gewinde (1.1) vom Parameter k_C . Andererseits erhält man aus (1.4) in [15] die beiden Gleichungen $\frac{\bar{g}_4}{\bar{g}_1} = k_A - k$, $\frac{\bar{g}_5}{\bar{g}_2} = k_B - k$ und hieraus

$$(k_B - k_A) \bar{g}_1 \bar{g}_2 + \bar{g}_2 \bar{g}_4 - \bar{g}_1 \bar{g}_5 = 0. \quad (1.2)$$

Die Gleichung (1.2) beschreibt einen *speziellen quadratischen Kettenkomplex*, der insbesondere von J. CARDINAAL (vgl. [5]) ausführlich untersucht wurde; seine Komplexkurven sind Parabeln. Da \mathcal{K} als Schnitt von (1.1) mit (1.2) entsteht, haben wir den

Satz 1: *Die Achsenkongruenz \mathcal{K} eines linearen Komplexbündels vom Typ 1 des einfach isotropen Raumes ist von der Ordnung und Klasse 2 und läßt sich als Schnitt eines vollisotropen Gewindes vom Parameter k_C mit dem quadratischen Kettenkomplex (1.2) erzeugen.*

Um \mathcal{K} geometrisch zu beschreiben, muß noch für (1.2) eine *geometrische Erzeugungsweise* angegeben werden. Es gilt der

Satz 2: *Der quadratische Komplex (1.2) läßt sich als Menge der Erzeugendennormalen eines Plücker-Konoids Ψ gewinnen, das die Achsen \bar{G} und G^* der Fundamentalgewinde K_A und K_B zu Mittelzerzeugenden hat und dessen doppelte Leitgerade die vollisotrope Gerade durch den Schnittpunkt von \bar{G} und G^* ist. Der Abstand der beiden Torsallinien von Ψ beträgt $2h := k_A - k_B$.*

Beweis: Wird ein Plücker-Konoid Ψ in der Darstellung

$$\mathfrak{x}(r, \varphi) = \{0, 0, h \sin 2\varphi\} + r \{\cos \varphi, \sin \varphi, 0\} \quad (1.3)$$

vorgegeben, wobei $2h$ den Abstand der Torsallinien bezeichnet, dann lauten die Plücker-Koordinaten von Ψ

$$q_1 : \dots : q_6 = \cos \varphi : \sin \varphi : 0 : -h \sin \varphi \sin 2\varphi : h \cos \varphi \sin 2\varphi : 0 . \quad (1.4)$$

Für eine Gerade $p(p_1 : \dots : p_6)$, die eine Erzeugende (1.4) orthogonal schneidet, gilt einerseits die *Schnittbedingung*

$$\begin{aligned} \Omega(p, q) = & -h p_1 \sin \varphi \sin 2\varphi + h p_2 \cos \varphi \sin 2\varphi + \\ & + p_4 \cos \varphi + p_5 \sin \varphi = 0 \end{aligned} \quad (1.5)$$

und andererseits die *Orthogonalitätsbedingung*

$$p_1 \cos \varphi + p_2 \sin \varphi = 0 . \quad (1.6)$$

Aus beiden Bedingungen entsteht mit $p_i = \bar{q}_i (i = 1, \dots, 6)$ und $2h := k_A - k_B$ die Gleichung (1.2). Das Plücker-Konoid Ψ besitzt ersichtlich die Achse $\bar{G}(1 : 0 : 0 : 0 : 0 : 0)$ des Gewindes K_A und die Achse $G^*(0 : 1 : 0 : 0 : 0 : 0)$ des Gewindes K_B als Mittelzerzeugenden.

w. z. z. w.

Die Sätze 1 und 2 liefern nun die Möglichkeit, einerseits \mathcal{K} mit Methoden der *Darstellenden Geometrie* in den Griff zu bekommen und andererseits \mathcal{K} eingehender zu studieren. Was die darstellend-geometrische Behandlung betrifft, deren Methodik in den *hervorragenden Darstellungen* [28] und [29] *des Jubilars* nachgelesen werden kann, so können die beiden durch einen Raumpunkt P verlaufenden Kongruenzstrahlen wie folgt ermittelt werden:

1) Der *Komplexkegel* Γ von P ist ein *quadratischer Kegel*, der als Menge der euklidischen (isotropen) Normalen von P auf die Erzeugenden von Ψ erhalten werden kann. Die Menge der *Normalenfußpunkte* ist ein *Kreis k elliptischen Typs* des einfach isotropen Raumes, d. h. eine Ellipse in einer Ebene ε , die bei Normalprojektion auf die Grundrißebene $z = 0$ als Kreis erscheint. Die Ebene ε läßt sich sofort durch eine Fallgerade festlegen (vgl. [8], S. 207f.).

2) Das vollisotrope Gewinde (1.1), dessen Gleichung sich schon in *euklidischer Normalform* befindet, besitzt die doppelte Leitgerade von Ψ als *euklidische Gewindeachse* a und k_C als *euklidischen Gewindeparameter*. Die Nullebene $\Pi(P)$ des Punktes P läßt sich somit nach der bekannten Möbius-Formel $k_C = d \tan \lambda$ (vgl. [7], S. 87) ermitteln, wobei d den euklidischen Abstand des Punktes P von a und λ den Neigungswinkel von Π gegen a bezeichnet. Nach Einmessen einer Geraden l durch P , die auf der Normalen von P auf a senkrecht steht und gegen a unter dem Winkel λ geneigt ist, liegt Π eindeutig fest.

3) Die Schnittgerade s von ε mit Π kann konstruiert und mit k geschnitten werden, was im algebraischen Sinn die Schnittpunkte 1 und 2 liefert. Dies kann besonders zweckmäßig im Grundriß ausgeführt werden, wo s' mit dem Kreis k' zu schneiden ist. Die Verbindungsgeraden von 1 bzw. 2 mit P sind die gesuchten Kongruenzstrahlen durch P .

Die beschriebene Methode zeigt einerseits, wie die durch einen Punkt P laufenden Kongruenzstrahlen mit *Zirkel* und *Lineal konstruierbar* sind, sie liefert andererseits auch die Möglichkeit, die *Realitätstypen* der Kongruenzstrahlen durch einen Punkt P zu überblicken. Dazu benötigen wir allerdings vorher eine Aussage über die Größen k_A, k_B, k_C , die gleichzeitig eine hübsche Kennzeichnung des Fundamentalgewindes K_A über eine *Extremaleigenschaft* liefert.

Satz 3: Für ein Komplexbündel vom Typ 1 des einfach isotropen Raumes besitzt das Fundamentalgewinde K_A — das zum singulären Punkt A des konjugiert-komplexen Geradenpaares im Kegelschnittbüschel $\{c, f_{12}\}$ gehört — einen extremalen Gewindeparameter. Es ist k_A maximal (minimal), wenn der Parameter k_C des einzigen vollisotropen Gewindes des Bündels negativ (positiv) ist.

Beweis: Die Funktion $k(\psi, \chi) = k_A \cos^2 \psi + k_B \sin^2 \psi + k_C \chi^2$ (vgl. [15], (1.13)), hat wegen $\frac{\partial k}{\partial \psi} = (k_B - k_A) \sin 2\psi = 0$, $\frac{\partial k}{\partial \chi} = 2k_C \chi = 0$ die kritischen Punkte $(0, 0)$, $(\pi/2, 0)$, $(\pi, 0)$ und $(3\pi/2, 0)$, denn es gilt stets $k_A \neq k_B$. Weiter gilt wegen ([15], (1.9)) $\Delta := k_{\psi\psi} k_{\chi\chi} - k_{\psi\chi}^2 = 4k_C^2 \frac{a-1}{b} \cos 2\psi$ und wegen³ $0 < a < 1$ und $b < 0$ ist $\text{sgn } \Delta = \text{sgn } \cos 2\psi$. Beachtet man noch $\frac{\partial^2 k}{\partial \chi^2} = 2k_C$, so folgt hieraus die Behauptung, wobei die Werte $(0, 0)$ und $(\pi, 0)$ die zu K_A gehörige Gewindeachse \vec{G} liefern. Wegen $\Delta < 0$ liegt für $(\pi/2, 0)$ bzw. $(3\pi/2, 0)$ in der Achse G^* kein Extremum vor. w. z. z. w.

Aus dem Satz 3 ziehen wir noch die wichtige *Folgerung*:

Es gilt stets

$$k_A - k_B > 0 \text{ für } k_C < 0 \text{ bzw.} \quad (1.7a)$$

$$k_A - k_B < 0 \text{ für } k_C > 0. \quad (1.7b)$$

² Wir bezeichnen mit f_1, f_2 die absoluten Geraden und mit F den absoluten Punkt des isotropen Raumes $J_3^{(1)}$. Die Figur 1 in ([15], S. 186) zeigt die geometrische Situation, die dem Satz 3 zugrunde liegt.

³ Bezüglich dieser Voraussetzung vgl. ([15], 185f.).

Nun kann die Achsenkongruenz \mathcal{K} näher studiert werden! Bezeichnen wir die Punkte

$$\begin{aligned} F_1(i\sqrt{(k_B - k_A)k_C}, 0, 0) \quad \text{und} \\ F_2(-i\sqrt{(k_B - k_A)k_C}, 0, 0), \end{aligned} \quad (1.8)$$

die auf der Mittel erzeugenden \bar{G} von Ψ liegen als *Fokalpunkte 1. Art*, und nennt man die auf G^* gelegenen Punkte

$$\begin{aligned} F_3(0, \sqrt{-k_C(k_A - k_B)}, 0) \quad \text{und} \\ F_4(0, -\sqrt{-k_C(k_A - k_B)}, 0) \end{aligned} \quad (1.9)$$

Fokalpunkte 2. Art, dann gilt der

Satz 4: *Durch jeden Punkt $P \notin \Psi$ laufen im algebraischen Sinn genau zwei Kongruenzstrahlen. Die Mittel erzeugenden \bar{G} und G^* von Ψ gehören zu \mathcal{K} . Durch die Kuspidalpunkte $T_1, T_2 \in a$ existiert genau eine Gerade aus \mathcal{K} , während durch die Fokalpunkte erster bzw. zweiter Art ein ganzes Büschel komplexer bzw. reeller Strahlen aus \mathcal{K} verläuft. Durch alle weiteren Punkte von Ψ laufen genau zwei reelle, verschiedene Geraden von \mathcal{K} .*

Beweis: Die erste Aussage folgt daraus, daß der Komplexkegel Γ eines Punktes $P \notin \Psi$ von der Nullebene $\Pi(P)$ nach zwei Erzeugenden im algebraischen Sinn geschnitten wird. Liegt P auf der doppelten Leitgeraden von Ψ und ist P von den Kuspidalpunkten T_1, T_2 verschieden, dann zerfällt Γ in zwei Geradenbüschel; diese Büschel mit Zentrum P liegen in den Normalebene ν_1 und ν_2 , die man in P die durch P laufenden Erzeugenden e_1 und e_2 legen kann. Da $\Pi(P)$ eine Normalebene von a in P ist, folgt sofort die zweite Aussage des Satzes. Für $P = T_1$ oder $P = T_2$ gilt $\nu_1 = \nu_2$, womit die Behauptung über die Kuspidalpunkte gezeigt ist. Gilt schließlich $P \in \Psi$, $P \notin a$, dann zerfällt Γ in zwei Geradenbüschel mit Zentrum P , von denen das eine in der Normalebene $\nu(P)$ der durch P laufenden Erzeugenden liegt, und das andere in einer allgemeinen Trägerebene η durch P liegt. Die Ebene η enthält nur dann die Erzeugende e des Punktes P , wenn e von einer weiteren Erzeugenden $\bar{e} \in \Psi$ orthogonal geschnitten wird. Dies trifft genau für das Erzeugendenpaar \bar{G}, G^* zu. Wir haben somit gesehen, daß durch jeden Punkt $P \in \Psi$, $P \notin a$, $P \notin \bar{G}$, G^* genau zwei reelle Kongruenzstrahlen laufen, nämlich die Schnittgeraden $\Pi(P)\nu(P)$ und $\Pi(P)\eta(P)$. Somit bleibt nur mehr der Fall zu

diskutieren, ob Punkte $P \in \tilde{G}$ bzw. $P \in G^*$ existieren, für die $\Pi(P) = \eta(P)$ gilt. Berechnet man die Nullebene $\Pi(P)$ für $P(x_0, 0, 0)$, so stellt sich

$$z = \frac{1}{k_C} x_0 y \quad (1.10)$$

ein. Andererseits kann man auch die Gleichung von $\eta(P_0)$ rasch gewinnen, wenn man beachtet, daß die Bedingungen (1.5) und (1.6) für die mit P inzidenten Geraden $p(p_j)$ ($j = 1, \dots, 6$) erfüllt sein müssen. Man findet so für η

$$z = \frac{1}{x_0} (k_A - k_B) y. \quad (1.11)$$

Aus (1.10) und (1.11) folgt nun, daß $\Pi(P)$ und $\eta(P)$ genau für $\frac{1}{k_C} x_0 = \frac{1}{x_0} (k_A - k_B)$ übereinstimmen, d. h. in den Fokalpunkten 1. Art (1.8). Das Normalenbüschel um P in η stimmt dort mit dem Büschel der Gewindestrahlen um P überein. Analog zeigt man die Existenz der reellen Fokalfunkte $F_3, F_4 \in G^*$. w. z. z. w.

Eine gute Einsicht in die Kongruenz \mathcal{K} erhält man, wenn man jene *Regelflächen* Φ_{k_0} studiert, die von Achsen \bar{g} zu *konstantem* Gewindeparameter k_0 gebildet werden; $k_0 = 0$ liefert ja den Gebüschachsenregulus Φ_0 . Wird (1.13) in [15] nach χ aufgelöst, so findet man aus (1.14) in [15] als Parameterdarstellung der gesuchten Flächen Φ_{k_0}

$$x(\psi, t) = \begin{cases} 0 & + t \cos \psi \\ -\frac{\sqrt{k_C}}{\cos \psi} \sqrt{k_0 - k_A \cos^2 \psi - k_B \sin^2 \psi} & + t \sin \psi \\ \tan \psi [k_B - k_0] + t \frac{1}{\sqrt{k_C}} \sqrt{k_0 - k_A \cos^2 \psi - k_B \sin^2 \psi} & \end{cases} \quad (1.12)$$

wobei t einen auf den Erzeugenden von Φ_{k_0} laufenden Parameter bezeichnet. Eine längere Rechnung liefert für $k_0 \neq k_A, k_0 \neq k_B$ die *algebraische Flächengleichung*

$$\frac{x^2}{k_C(k_0 - k_B)} + \frac{y^2}{k_C(k_0 - k_A)} - \frac{z^2}{(k_0 - k_A)(k_0 - k_B)} = 1. \quad (1.13)$$

Die Flächen Φ_{k_0} sind daher *Reguli* in den *einschaligen Hyperboloiden*

(1.13). Die Quadriken (1.13) sind *konzentrisch* mit dem Mittelpunkt M im Koordinatenursprung; M ist isotrop-invariant erklärt und soll als *Mittelpunkt* des Komplexbündels bezeichnet werden. Die Gewindeachsen \bar{G}, G^* und die Doppelgerade a von \mathcal{P} sind die isotrop-invariant erklärten *Hauptachsen* aller Flächen Φ_{k_0} . Die *Fernkurven* der Flächen Φ_{k_0} , die durch

$$x_0 = (k_0 - k_A)x_1^2 + (k_0 - k_B)x_2^2 - k_Cx_3^2 = 0 \quad (1.14)$$

erfaßt werden, enthalten die vier Schnittpunkte S_1, \dots, S_4 von c mit den absoluten Geraden $\{f_1, f_2\}$, so daß die Quadriken Φ_{k_0} als *konzyklisch* im isotropen Sinn anzusprechen sind. Es bleiben noch die beiden Sonderfälle $k_0 = k_A$ bzw. $k_0 = k_B$ zu diskutieren:

a) Gilt $k_0 = k_A$, dann vereinfacht sich (1.12) zu

$$\begin{cases} x = & + t \cos \psi \\ y = \mp \sqrt{k_C} \sqrt{k_A - k_B} \tan \psi & + t \sin \psi \\ z = (k_B - k_A) \tan \psi & \pm t \frac{1}{\sqrt{k_C}} \sqrt{k_A - k_B} \sin \psi . \end{cases} \quad (1.15)$$

Dies sind zwei *konjugiert-komplexe Geradenbüschel* mit den Zentren in den Fokalfpunkten F_1, F_2 erster Art (vgl. (1.8)). Trägerebenen der beiden Büschel sind die *Fokalebene*n

$$\pm y \sqrt{k_A - k_B} = iz \sqrt{|k_C|} . \quad (1.16)$$

b) Gilt $k_0 = k_B$, dann vereinfacht sich (1.12) zu

$$\begin{cases} x = & + t \cos \psi \\ y = \pm \sqrt{k_C} \sqrt{k_B - k_A} & + t \sin \psi \\ z = & \pm t \frac{1}{\sqrt{k_C}} \sqrt{k_B - k_A} \cos \psi . \end{cases} \quad (1.17)$$

Dies sind wegen (1.7a, b) zwei *reelle Geradenbüschel* mit den Zentren in den Fokalfpunkten F_3, F_4 zweiter Art (vgl. (1.9)).

Trägerebenen der beiden Büschel sind die reellen Fokalebene

$$\pm x \sqrt{k_A - k_B} = z \sqrt{-k_C} . \quad (1.18)$$

Die Schnitte der Flächen Φ_{k_0} mit der *Grundrißebene* Π_1 ($z = 0$) sind Kegelschnitte, die auf der Achse G^* stets *reelle Scheitel*

$$S_{1,2}(0, \pm \sqrt{k_C(k_0 - k_A)}, 0) \quad (1.19)$$

besitzen, wie man aus (1.7a, b) und (1.13) folgert. Ist $k_C < 0$, so liegen für $k_0 < k_B$ ($k_0 > k_B$) Ellipsen (Hyperbeln) vor, während $k_C > 0$ für $k_0 < k_B$ ($k_0 > k_B$) Hyperbeln (Ellipsen) liefert. In beiden Fällen zeigt eine einfache Rechnung, daß die Fokalfpunkte F_1, F_2 bzw. F_3, F_4 die komplexen bzw. reellen *euklidischen Brennpunkte* aller dieser Kegelschnitte sind. Wir fassen zusammen im

Satz 5: *Die Gewindeachsen aller nichtisotroper Gewinde von konstantem Gewindeparameter $k_0 \neq k_A, k_B$ eines Komplexbündels vom Typ 1 des einfach isotropen Raumes bilden Reguli auf konzentrischen und konzyklischen einschaligen Hyperboloiden mit den Geraden \bar{G}, G^* und a als Hauptachsen. Die Gewindeachsen mit $k_0 = k_A$ bzw. $k_0 = k_B$ bilden je zwei konjugiert-komplexe bzw. reelle Geradenbüschel in den Fokalebene, wobei die Büschelzentren die Fokalfpunkte sind, die gleichzeitig die gemeinsamen Brennpunkte der konfokalen Kegelschnitte $\Phi_{k_0} \cap \Pi_1$ sind.*

2. Isotrope und affine Resultate

Die Reguli (1.12) sind Regelflächen des einfach isotropen Raumes vom Typ V gemäß der Klassifikation von W. O. VOGEL (vgl. [24], S. 198), wobei die in Π_1 gelegenen Kegelschnitte $\Phi_{k_0} \cap \Pi_1$ ihre Striktionslinien sind. Wird eine Regelfläche Φ dieses Typs durch

$$x(\psi, t) = \eta(\psi) + t e(\psi) \text{ mit } \bar{e}^2 = 1 \quad (2.1)$$

beschrieben — wobei $\eta(\psi)$ eine Leitkurve der Fläche ist und e einen isotropen Einheitsvektor auf den Erzeugenden von Φ bezeichnet —, dann kann gemäß ([9], S. 13) eine Differentialinvariante 1. Ordnung, der *Drall* durch

$$\delta_I = \frac{\text{Det}(\dot{\eta}, e, \dot{e})}{\dot{e}^2} \quad (2.2)$$

erklärt werden. Nach einiger Rechnung folgt mit (2.2) für die Regelflächen Φ_{k_0} aus (1.12)

$$\delta_I = \frac{(k_B - k_0)(k_0 - k_A)}{k_0 - k_A \cos^2 \psi - k_B \sin^2 \psi}. \quad (2.3)$$

Bezeichnet $d = d(\bar{g}, M)$ den Abstand einer Erzeugenden $\bar{g} \in \Phi_{k_0}$ vom Bündelmittelpunkt M , dann läßt sich (2.3) in der geometrisch einsichtigeren Gestalt

$$\delta_I = \frac{k_C(k_B - k_0)(k_0 - k_A)}{d^2} \tag{2.4}$$

schreiben. Hieraus folgt der

Satz 6: *Der Drall δ_I in einer Gewindeachse \bar{g} eines Komplexbündels vom Typ 1 des $J_3^{(1)}$ auf der entsprechenden Trägerfläche Φ_{k_0} ist proportional zum Reziprokwert des Abstandsquadrates vom Bündelmitelpunkt. Die Invariante $k_A(k_B)$ läßt sich als Drall in den Nebenscheitelerzeugenden (Hauptscheitelerzeugenden) des Gebüschachsenregulus deuten.*

Beweis: Es bleibt noch die zweite Aussage des Satzes zu zeigen. Hierzu beachten wir, daß sich für $k_0 = 0$ die Formel (2.4) zu

$$\delta_I(\Phi_0) = -\frac{k_A k_B k_C}{d^2} \tag{2.5}$$

vereinfacht. Berechnet man an Hand von (1.13) die auf G^* bzw. \bar{G} gelegenen Scheitel von $\Phi_0 \cap \Pi_1$, so erhält man

$$S_{1,2}(0, \pm \sqrt{-k_A k_C}) \tag{2.6 a}$$

$$S_{3,4}(\sqrt{-k_B k_C}, 0) . \tag{2.6 b}$$

Da für $k_C < 0$ stets $k_A > 0, k_B > 0$ und für $k_C > 0$ stets $k_A < 0, k_B < 0$ gilt, ist $\Phi_0 \cap \Pi_1$ eine *Ellipse* mit den Hauptscheiteln S_1, S_2 und den Nebenscheiteln S_3, S_4 . Die mit diesen Punkten inzidenten Erzeugenden sollen entsprechend als Haupt- bzw. Nebenscheitelerzeugende von Φ_0 bezeichnet werden. Nun gilt nach (2.5) $d^2 = -k_B k_C$ genau für $\delta_I = k_A$ bzw. $d^2 = -k_A k_C$ genau für $\delta_I = k_B$. w. z. z. w.

Nach ([24], S. 208) läßt sich für Regelflächen Φ des $J_3^{(1)}$ vom Typ V eine *Torsion* durch

$$\tau = \frac{\text{Det}(e, e', e'')}{\bar{e}'^2} \tag{2.7}$$

erklären, wobei Striche Ableitungen nach der isotropen Bogenlänge s auf der Striktionslinie von Φ bezeichnet. Bei allgemeiner Parametrisierung der Striktionslinie gilt

$$\tau = \frac{\text{Det}(e, \dot{e}, \ddot{e})}{\dot{\bar{e}}^2 \dot{s}} . \tag{2.8}$$

Mittels (2.8) kann man τ für die Flächen Φ_{k_0} aus (1.12) bestimmen, wobei man die Leitkurve in (1.12) allerdings durch die Striktionslinie $\Phi_{k_0} \cap \Pi_1$ zu ersetzen hat. Eine längere Rechnung liefert das hübsche Resultat $\tau(\Phi_{k_0}) = \frac{1}{k_C} = \text{konst.}$ Es gilt also der

Satz 7: *Alle Reguli Φ_{k_0} eines Komplexbündels vom Typ 1 des einfach isotropen Raumes besitzen dieselbe konstante Windung, und diese stimmt mit dem Reziprokwert der Fundamentalinvariante k_C des Bündels überein.*

Für nicht-konoidale Regelflächen hat H. BRAUNER in ([4], S. 106) eine *Scherungsinvariante* a eingeführt, für die nach ([9], S. 24) gilt

$$a = \delta_I: k_I^{2/3}, \quad (2.9)$$

wobei k_I die isotrope konische Krümmung der Regelfläche bedeutet. Ermittelt man a für die Flächen Φ_{k_0} , so stellt sich

$$a^3 = k_C(k_0 - k_A)(k_B - k_0) = \text{konst.} \quad (2.10)$$

ein. Hieraus folgt speziell für $k_0 = 0$ der

Satz 8: *Das Produkt der drei Fundamentalinvarianten $k_A k_B k_C$ eines Komplexbündels vom Typ 1 des einfach isotropen Raumes ist eine affine Scherungsinvariante; sie stimmt mit $(-a^3)$ auf dem Gebüschachsenregulus des Bündels überein.*

Wir geben noch eine interessante geometrische Deutung des *Gewindeparameters* k einer Gewindeachse \tilde{g} als *Drall* in einer geeigneten Erzeugenden des Achsenregulus Φ_0 , die eine Verallgemeinerung von Satz 6 liefert. Betrachtet man zu einer allgemeinen Gewindeachse \tilde{g} den parallelen Durchmesser \hat{g} von Φ_0 und bezeichnen S_1, S_2 die Schnittpunkte von Φ_0 mit \hat{g} , dann gilt nach ([15], S. 190)

$$k l^2 = -k_A k_B k_C \quad \text{mit} \quad l^2 = \overline{MS_1}^2 = \overline{MS_2}^2, \quad (2.11)$$

wenn M den Bündelmittelpunkt bezeichnet. Andererseits gilt für jene

Erzeugende \tilde{g} auf Φ_0 für die in (2.5) $d = 1$ ist: $\delta_I(\Phi_0) = -\frac{k_A k_B k_C}{l^2} = k.$

Damit haben wir den in Abb. 1 veranschaulichten

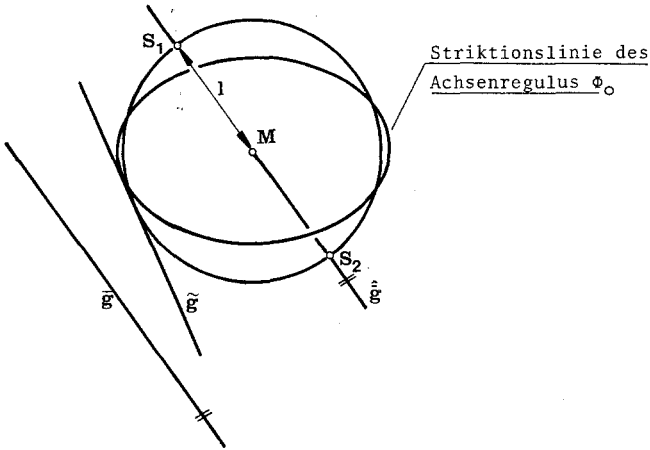


Abb. 1

Satz 9: Sei \bar{g} eine Gewindeachse mit Parameter k eines Komplexbündels vom Typ 1 des $J_3^{(1)}$ und l die Länge des zu \bar{g} parallelen Halbmessers des Gebüschachsenregulus Φ_0 . Dann wird der Drall $\delta_l = k$ in jenen Erzeugenden von Φ_0 angenommen, die vom Mittelpunkt M des Bündels den Abstand l besitzen.

Die Abb. 1 zeigt den beschriebenen Sachverhalt in einem Grundriß. Die Schnittpunkte S_1, S_2 von \hat{g} mit Φ_0 liefern den Radius $l = MS_1 = MS_2$ des Hilfskreises c_0 . Bezeichnet e_0 die Striktionsellipse von Φ_0 , so sind die gemeinsamen Tangenten von c_0 und e_0 die Grundrisse der gesuchten Erzeugenden \tilde{g} . Im algebraischen Sinn gibt es somit 4 Erzeugenden auf Φ_0 , in denen der Drallwert k angenommen wird.

Wir geben in diesem Zusammenhang noch eine interessante metrisch-äquifforme Deutung des Gewindeparameters k . Bezeichnet $G_1 = \bar{g} \cap I_1$ den ersten Spurpunkt einer Gewindeachse \bar{g} , so findet man seine Koordinaten zu

$$G_1 \left[-\frac{1}{\chi} (k_B - k) \sin \psi, \frac{1}{\chi} (k_A - k) \cos \psi, 0 \right], \quad (2.12)$$

während der Schnittpunkt S_1 des zu \bar{g} parallelen Durchmessers \hat{g} die Koordinaten

$$S_1 (\varrho \cos \psi, \varrho \sin \psi, \varrho \chi) \text{ mit } \varrho = -\frac{k_A k_B k_C}{k} \quad (2.13)$$

besitzt, wenn k der Gewindeparameter auf \bar{g} ist. Bedeutet \bar{S}_1 die Normalprojektion von S_1 auf Π_1 , so werde das Dreieck $\{M, G_1, \bar{S}_1\}$ als *Zentraldreieck* der Gewindeachse \bar{g} bezeichnet; es ist isotrop-invariant erklärt. Für seinen Flächeninhalt F_z erhält man aus (2.12) und (2.13)

$$F_z = \frac{1}{2k} k_A k_B k_C^2 \chi. \quad (2.14)$$

Bezeichnet andererseits F_0 den Flächeninhalt des Achsenrechtecks der Ellipse $\Phi_0 \cap \Pi_1$, das man *Fundamentalrechteck* nennen könnte, dann findet man aus (2.6 a, b)

$$F_0^2 = k_A k_B k_C^2. \quad (2.15)$$

Aus (2.14) und (2.15) fließt nunmehr die Beziehung⁴

$$k = \frac{F_0^2 \chi}{2 F_z}$$

und damit der

Satz 10: *Der Gewindeparameter k einer Gewindeachse \bar{g} in einem Komplexbündel vom Typ 1 des $J_3^{(1)}$ ist proportional zum Quotienten aus dem Neigungswinkel von \bar{g} gegen Π_1 zum Flächeninhalt des zugehörigen Zentraldreiecks.*

3. Das ergänzende lineare Komplexbündel

Zu jeder linearen Komplexmannigfaltigkeit \mathcal{G} des dreidimensionalen projektiven Raumes existiert bekanntlich eine *ergänzende lineare Komplexmannigfaltigkeit*, wobei Träger und Achsenmannigfaltigkeit ihre Rollen tauschen. Wir wollen hier das ergänzende Bündel $\hat{\mathcal{D}}$ zum Komplexbündel \mathcal{D} vom Typ 1 studieren. Während der Gebüschachsenregulus von \mathcal{D} durch

$$\bar{g}_1 : \dots : \bar{g}_6 = \cos \psi : \sin \psi : \chi : k_A \cos \psi : k_B \sin \psi : k_C \chi \quad (3.1)$$

mit $\chi^2 = -\frac{k_A}{k_C} \cos^2 \psi - \frac{k_B}{k_C} \sin^2 \psi$ gegeben ist, besitzt der Gebüschachsenregulus von $\hat{\mathcal{D}}$ ersichtlich die Darstellung

$$\hat{g}_1 : \dots : \hat{g}_6 = \cos \psi : \sin \psi : -\chi : -k_A \cos \psi : -k_B \sin \psi : k_C \chi. \quad (3.2)$$

⁴ χ läßt sich als zweifacher Flächeninhalt des Stützdreiecks von \bar{g} zur Kathetenlänge 1 deuten.

Betrachtet man in (3.2) die zu den Parameterwerten $\psi = 0$, $\psi = \pi/2$ und $\psi = \pi$ gehörigen Gebüsche, so kann man nach geeigneter Linearkombination dieser Gebüsche das Bündel $\hat{\mathcal{D}}$ durch die drei Gewinde

$$\begin{aligned} \hat{K}_1 \dots - p_4 + k_A p_1 &= 0, & \hat{K}_2 \dots p_5 - k_B p_2 &= 0 \\ \hat{K}_3 \dots - p_6 + k_C p_3 &= 0 \end{aligned} \quad (3.3 \text{ a—c})$$

aufspannen und gewinnen so als *Normalform* von $\hat{\mathcal{D}}$

$$(u k_A) p_1 + (-v k_B) p_2 + (w k_C) p_3 - u p_4 + v p_5 - w p_6 = 0. \quad (3.4)$$

Bezeichnet \hat{g} eine allgemeine Gewindeachse von $\hat{\mathcal{D}}$ und bedeuten $\hat{\psi} = \sphericalangle(\hat{G}, \hat{g})$ bzw. $\hat{\chi} = \sphericalangle(II_1, \hat{g})$, dann findet man nach ([13], S. 333) für \hat{g} die Koordinaten

$$\begin{aligned} \hat{g}_1 : \dots : \hat{g}_6 &= \\ &= \cos \hat{\psi} : -\sin \hat{\psi} : \hat{\chi} : -(\hat{k} + k_A) \cos \hat{\psi} : (\hat{k} + k_B) \sin \hat{\psi} : -k_C \hat{\chi}, \end{aligned} \quad (3.5)$$

wobei

$$\hat{k} = -k_A \cos^2 \hat{\psi} - k_B \sin^2 \hat{\psi} - k_C \hat{\chi}^2 \quad (3.6)$$

den Gewindeparameter auf \hat{g} abgibt. Die *Fundamentalinvarianten* von $\hat{\mathcal{D}}$ sind somit der Parameter $\hat{k}_C = k(\hat{K}_3) = -k_C$ des vollisotropen Gewindes in $\hat{\mathcal{D}}$ sowie die Parameter $\hat{k}_A = k(\hat{K}_1) = -k_A$ und $\hat{k}_B = k(K_2) = -k_B$. Wir fassen zusammen und beweisen ergänzend den

Satz 11: *Das ergänzende Bündel $\hat{\mathcal{D}}$ zu einem linearen Komplexbündel \mathcal{D} vom Typ 1 des einfach isotropen Raumes mit den Fundamentalinvarianten $\{k_A, k_B, k_C\}$ besitzt die Fundamentalinvarianten $\{-k_A, -k_B, -k_C\}$. Zwei Achsen $\bar{g} \in \mathcal{K}$ und $\hat{g} \in \hat{\mathcal{K}}$ aus den Achsenkongruenzen \mathcal{K} bzw. $\hat{\mathcal{K}}$ der Bündel \mathcal{D} bzw. $\hat{\mathcal{D}}$ schneiden sich genau dann, wenn \bar{g} und \hat{g} entweder entgegengesetzt gleichen Gewindeparameter besitzen oder mit den Torsallinien des Plücker-Konoids Ψ entgegengesetzt gleiche Winkel einschließen. Die Achsenkongruenz $\hat{\mathcal{K}}$ besteht aus den ergänzenden Reguli auf den Flächen Φ_{k_0} .*

Beweis: Wendet man auf (1.14) in [15] und (3.5) die Schnittbedingung $\Omega(\bar{g}, \hat{g}) = 0$ an, so findet man

$$(k + \hat{k}) \cos(\psi - \hat{\psi}) = 0, \quad (3.7)$$

d. h. es ist entweder $k = -\hat{k}$ oder $\psi + \hat{\psi} = \pi/2$ bzw. $\psi + \hat{\psi} = 3\pi/2$; diese Winkelbeziehungen besagen aber, daß die Achsen \bar{g} und \hat{g} gegen

die Torsallinien t_1 und t_2 des Plücker-Konoids Ψ in Satz 2 entgegengesetzt gleiche Winkel bilden. Bestimmt man jene Kongruenzflächen Φ_{k_0} in \mathcal{K} , die aus Gewindeachsen \hat{g} zu konstantem Gewindeparameter $k_0 \neq -k_A, -k_B$ gebildet werden, so erhält man zunächst eine zu (1.12) analoge Parameterdarstellung und bestimmt hieraus die *algebraische Flächengleichung*

$$-\frac{x^2}{k_C(\hat{k}_0 + k_B)} - \frac{y^2}{k_C(\hat{k}_0 + k_A)} - \frac{z^2}{(\hat{k}_0 + k_A)(\hat{k}_0 + k_B)} = 1, \quad (3.8)$$

die für $\hat{k}_0 = -k_0$ mit (1.13) übereinstimmt. Somit sind die Flächen Φ_{k_0} und $\Phi_{\hat{k}_0}$ ergänzende Reguli auf dem einschaligen Hyperboloid (3.8). w. z. z. w.

Die letzte Aussage von Satz 11 ist ein gewisses Analogon zu einem Satz von E. WAELSCH (vgl. [25], S. 796). Um die zweite Aussage von Satz 11 etwas näher zu analysieren, beachten wir zunächst, daß sich die Achsenkongruenz \mathcal{K} durch Schnitt des vollisotropen Gewindes

$$\hat{g}_6 + k_C \hat{g}_3 = 0 \quad (3.9)$$

mit dem quadratischen Komplex

$$(k_A - k_B) \hat{g}_1 \hat{g}_2 + \hat{g}_2 \hat{g}_4 - \hat{g}_1 \hat{g}_5 = 0 \quad (3.10)$$

erzeugen läßt. Der Komplex (3.10) entsteht als Menge der Erzeugendennormalen eines Plücker-Konoids $\hat{\Psi}$, das aus dem Plücker-Konoid Ψ in Satz 2 durch Spiegelung an der Mittelebene Π_1 in vollisotroper Richtung entsteht. Mit jedem Punkt $P \notin a \subset \Psi$ inzidieren im algebraischen Sinn zwei Flächen Φ_1, Φ_2 der Schar (1.13), wobei jede zwei Reguli trägt, womit die mit P inzidenten Gewindeachsen $\bar{g}^{(1)}, \bar{g}^{(2)} \in \mathcal{K}$ bzw. $\hat{g}^{(1)}, \hat{g}^{(2)} \in \hat{\mathcal{K}}$ gefunden sind. Während die gleich indizierten Gewindeachsen nach Satz 11 zu entgegengesetzt gleichen Gewindeparametern gehören, bilden die ungleich indizierten Gewindeachsen aus \mathcal{K} und $\hat{\mathcal{K}}$ entgegengesetzt gleiche Winkel mit den Torsallinien t_1 und t_2 von Ψ . Man bestätigt dies analytisch dadurch, daß man die mit einem Punkt $P(x_0, y_0, z_0)$ inzidenten Kongruenzstrahlen aus \mathcal{K} bzw. $\hat{\mathcal{K}}$ durch die Winkel ψ und χ bzw. $\hat{\psi}$ und $\hat{\chi}$ festlegt. Dazu wertet man zunächst die Inzidenzbedingungen

$$\begin{aligned} \bar{g}_4 &= y_0 \bar{g}_3 - z_0 \bar{g}_2, & \bar{g}_5 &= z_0 \bar{g}_1 - x_0 \bar{g}_3 \\ \bar{g}_6 &= x_0 \bar{g}_2 - y_0 \bar{g}_1 \end{aligned} \quad (3.11 \text{ a—c})$$

mittels (1.14) in [15] aus, wodurch drei Gleichungen entstehen, aus

denen k und χ eliminiert werden können. Schließlich stellt sich die Gleichung

$$(k_B - k_A) \sin \psi \cos \psi + \frac{1}{k_C} (x_0 \cos \psi + y_0 \sin \psi) (x_0 \sin \psi - y_0 \cos \psi) = z_0. \quad (3.12)$$

ein und analog gewinnt man

$$(k_B - k_A) \sin \hat{\psi} \cos \hat{\psi} + \frac{1}{k_C} (x_0 \sin \hat{\psi} + y_0 \cos \hat{\psi}) (x_0 \cos \hat{\psi} - y_0 \sin \hat{\psi}) = z_0. \quad (3.13)$$

Ist somit $\hat{\psi}$ eine Lösung von (3.13), dann ist auch $\psi = \pi/2 - \hat{\psi}$ eine Lösung von (3.12) und umgekehrt. Wird (3.12) in der Form

$$(x_0 y_0 - k_C z_0) \tan^2 \psi + [k_C (k_B - k_A) + x_0^2 - y_0^2] \tan \psi - x_0 y_0 - k_C z_0 = 0 \quad (3.14)$$

geschrieben, dann folgt nach Vieta, daß für die Lösungen $\tan \psi_1, \tan \psi_2$ von (3.14) gilt

$$\tan \psi_1 \cdot \tan \psi_2 = \frac{x_0 y_0 + k_C z_0}{-x_0 y_0 + k_C z_0}. \quad (3.15)$$

Hieraus folgt, daß genau für die Punkte P von $\Pi_1 (z = 0)$ die beiden durch P laufenden Gewindeachsen einander *orthogonal* schneiden; die Kegelschnitte $\Phi_1 \cap \Pi_1$ und $\Phi_2 \cap \Pi_1$ sind somit *konfokal*. Genau die Punkte in den isotropen Ebenen durch \bar{G} und G^* besitzen Gewindeachsen, welche die Torsallinien t_1 und t_2 von Ψ unter entgegengesetzten Winkeln schneiden. Beachtet man noch die aus (3.11c) und (1.14) in [15] fließenden Gleichungen unter der Bedingung $\psi + \hat{\psi} = \pi/2$, so folgt

$$\begin{aligned} k_C \chi &= x_0 \sin \psi - y_0 \cos \psi \\ k_C \hat{\chi} &= x_0 \cos \psi - y_0 \sin \psi. \end{aligned} \quad (3.16a, b)$$

Wird ψ aus beiden Gleichungen eliminiert, so erhält man

$$\chi^2 + \hat{\chi}^2 = \frac{1}{k_C^2} (x_0^2 + y_0^2) \quad (3.17)$$

und damit eine interessante Deutung der Summe der Quadrate der Neigungswinkel zugehöriger Achsen. Wir fassen zusammen im

Satz 12: Die durch einen Punkt $P \notin a$ laufenden Kongruenzstrahlen von \mathcal{K} und $\hat{\mathcal{K}}$ liegen auf einschaligen Hyperboloiden Φ_1, Φ_2 , deren Striktionslinien $\Phi_1 \cap \Pi_1$ und $\Phi_2 \cap \Pi_1$ konfokale Kegelschnitte sind. Diese Kongruenzstrahlen lassen sich paarweise so zuordnen, daß entsprechende Strahlen mit den Torsallinien von Ψ entgegengesetzt gleiche Winkel einschließen. Die Wurzel aus der Summe der Quadrate der Neigungswinkel zugeordneter Strahlen gegen Π_1 , ist gleich dem Quotienten aus dem Abstand des Punktes P von a und der Invarianten k_C .

Literatur

- [1] BALL, R. ST.: A Treatise on the Theory of Screws. Cambridge: University Press. 1900.
- [2] BEYER, R.: Technische Raumkinematik. Berlin-Göttingen-Heidelberg: Springer. 1963.
- [3] BLASCHKE, W.: Nicht-Euklidische Geometrie und Mechanik I—III. Hamb. Math. Einzelschriften. Heft 34. Leipzig-Berlin: B. G. Teubner. 1942.
- [4] BRAUNER, M.: Eine Scherungsinvariante der Strahlflächen. Mh. Math. **66**, 105—109 (1962).
- [5] CARDINAAL, J.: Sur les congruences (3,2) contenues dans un complexe quadratique de torseurs de Ball. Arch. néerlandaises des sc. **6**, 118—126 (1901).
- [6] HUNT, K. H.: Screw Systems in Spatial Kinematics. MMERS 3. Dept. of Mech. Eng. Monash University. 1970.
- [7] KOMMERELL, K.: Vorlesungen über analytische Geometrie des Raumes. Stuttgart: Koehler. 1940.
- [8] MÜLLER, E., KRAMES, J.: Vorlesungen über Darstellende Geometrie III. Konstruktive Behandlung der Regelflächen. Leipzig-Wien: Deuticke. 1931.
- [9] SACHS, H.: Zur Liniengeometrie isotroper Räume. Habilitationsschrift. Univ. Stuttgart (1972).
- [10] SACHS, H.: Metrische Geometrie in elliptischen Komplexbüscheln des Flaggenraumes. Sitzungsber. Akad. Wiss. Wien **190**, 529—550 (1982).
- [11] SACHS, H.: Neuere Resultate aus der Liniengeometrie des $J_3^{(2)}$. Ber. d. Math. Stat. Sektion Forschungsz. Graz **221**. 1—32 (1983).
- [12] SACHS, H.: Metrische Geometrie in Komplexbündeln vom 1. Haupttyp im Flaggenraum $J_3^{(2)}$. Sitzungsber. Akad. Wiss. Wien **193**, 69—92 (1984).
- [13] SACHS, H.: Lineare Geradenkomplexe im einfach isotropen Raum. Glasnik mat. **14**, 325—344 (1979).
- [14] SACHS, H.: Klassifikationstheorie der linearen Komplexbüschel und Bündel im einfach isotropen Raum. Glasnik mat. Im Druck (1984).
- [15] SACHS, H.: Lineare Komplexbüschel im einfach isotropen Raum. J. Geometry **23**, 184—200 (1984).
- [16] SACHS, H.: Parabolische Komplexbündel im einfach isotropen Raum. Colloquium on differential geometry. Debrecen. 1984.
- [17] SACHS, H.: Lehrbuch der isotropen Geometrie. Wiesbaden: Vieweg. 1986.
- [18] STRUBECKER, K.: Differentialgeometrie des isotropen Raumes I (Theorie der Raumkurven). Sitzungsber. Akad. Wiss. Wien **150**, 1—53 (1941).
- [19] STRUBECKER, K.: Differentialgeometrie des isotropen Raumes II. (Die Flächen konstanter Relativkrümmung $K = rt - s^2$). Math. Z. **47**, 743—777 (1942).

- [20] STRUBECKER, K.: Differentialgeometrie des isotropen Raumes III (Flächentheorie). *Math. Z.* **48**, 369—427 (1942).
- [21] STRUBECKER, K.: Loxodromen im isotropen Raum. *Sitzungsber. Akad. Wiss. Wien* **184**, 269—305 (1975).
- [22] SUH, C. H., RADCLIFFE, C. W.: *Kinematics and Mechanisms Design*. New York 1978.
- [23] TIMERDING, M. E.: *Geometrie der Kräfte*. Leipzig 1908.
- [24] VOGEL, W. O.: Regelflächen im isotropen Raum. *J. reine angew. Math.* **202**, 196—214 (1959).
- [25] WAELSCH, E.: Über eine Strahlencongruenz beim Hyperboloid. *Sitzungsber. Akad. Wiss. Wien* **95**, 781—801 (1887).
- [26] WUNDERLICH, W.: Böschungslloxodromen und ebene Loxodromen im isotropen Raum. *Sitzungsber. Akad. Wiss. Wien* **187**, 339—361 (1978).
- [27] WUNDERLICH, W.: Integrallose Darstellung der Loxodromen im isotropen Raum. *Anzeiger d. Öst. Akad. Wiss.* (7), 1—3 (1977).
- [28] WUNDERLICH, W.: *Darstellende Geometrie I. B. I.* Hochschultaschenbücher 96/96a, Mannheim: 1966.
- [29] WUNDERLICH, W.: *Darstellende Geometrie II. B. I.* Hochschultaschenbücher 133/133a, Mannheim: 1967.

o. Prof. Mag. Dr. HANS SACHS
Institut für Geometrie der
Montanuniversität Leoben
Franz-Josef-Strasse 18
A-8700 Leoben, Austria